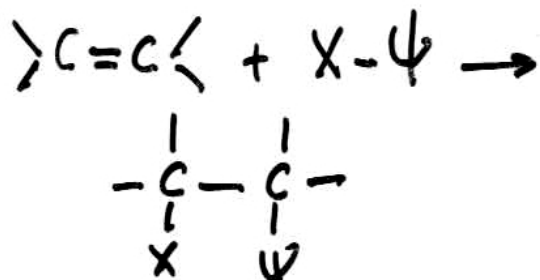


ΤΑΞΙΝΟΜΗΣΗ ΑΝΤΙΔΡΑΙΕΩΝ

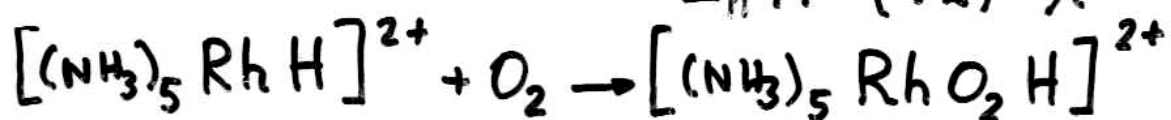
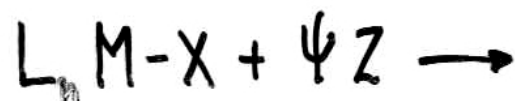
1. Οξειού-Βάσηων - Αντιδράσεων Εποικεπένδυσης
(acid-base or neutralization)
2. Επαρθίσματα (addition, insertion)
3. Αποσπάσματα (elimination)
4. Επιδιοχαγήσης (oxidation-reduction)
5. Υποκαταστάσεων - Αντικαταστάσεων
(substitution or Displacement)
6. Ανακαρανομής - Ισομερτίσης
(Rearrangement or isomerization)
7. Μεταθεσίας - Ανταλλαγής
(Metathesis or exchange)
8. Διαλυτόλυση (solvolytic)
9. Χηλιώση (chelation)
10. Κυκλοποίηση (cyclization)
11. Πυρηνική (nuclear)

Propositions

(addition reactions)

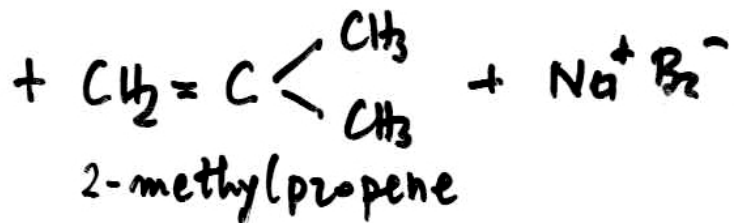
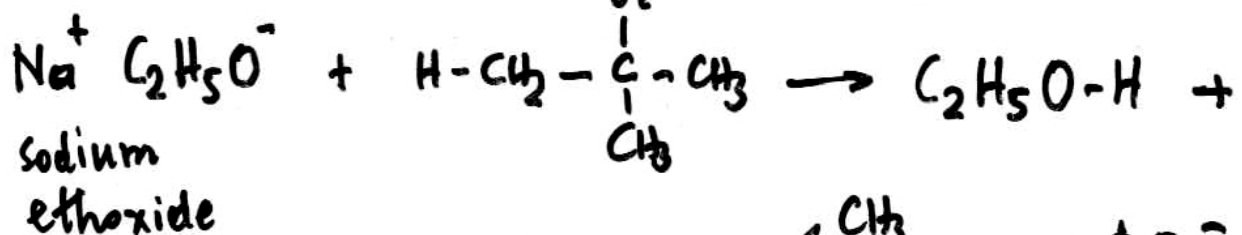
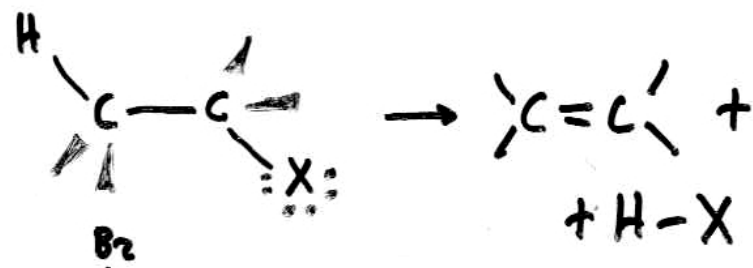


(insertion reactions)



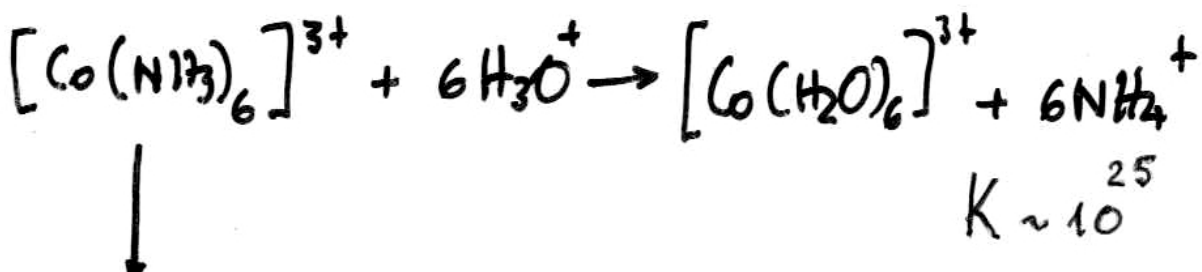
Anomalous

(elimination reactions)



Υποκαραγγέτων

(substitution reactions)



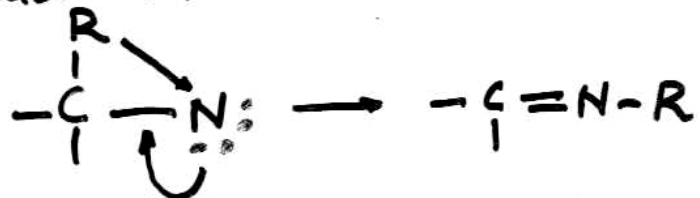
$$K \sim 10^{25}$$

κινητικά αίρεση

θερμοδυναμική άλταση.

Αναρράγη

(rearrangement reactions)



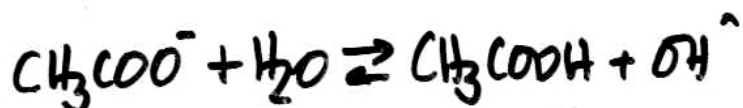
Μεταθέσεων - Αναρράγης

(metathesis - exchange)



Διαλυτόλυση

(solvolytic)



(απρι)

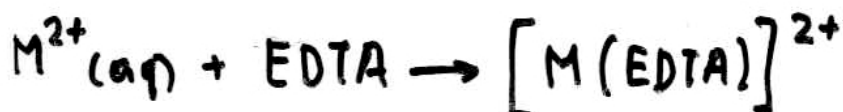
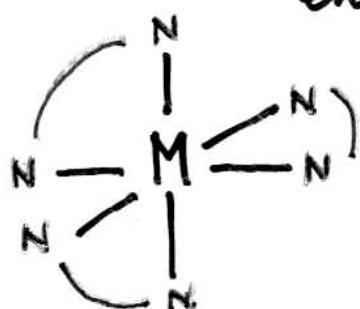


(χρηστορ)



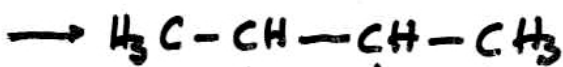
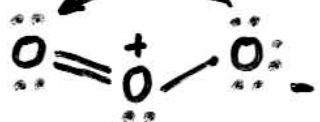
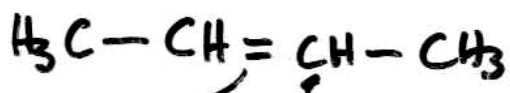
Xnλιώσεις

(chelation reactions)

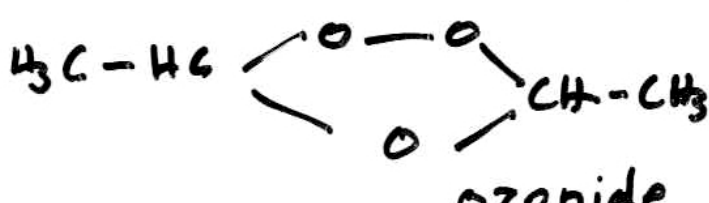


Κυκλονομίση

(cyclization reactions)

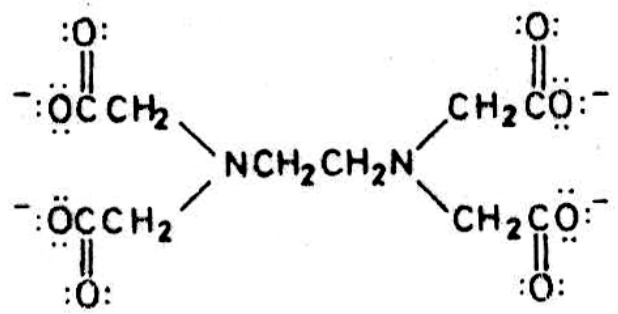


molozonide
(ακταδίς έθνος)

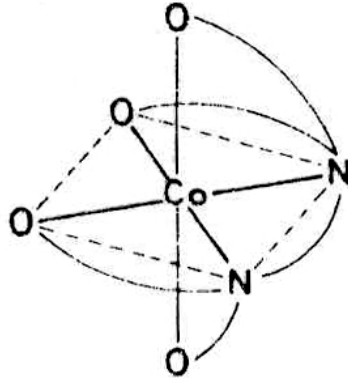


Τιγρύνιση (nuclear)





EDTA



ΤΑΞΙΝΟΜΗΣΗ ΑΝΤΙΔΡΑΣΤΗΡΙΩΝ

(A) Ιστορικία

(i) Ατομική Μορφή (A_2, K_2)

Μοριακή Μορφή (O_2, H_2 - αέρια)

Μοριακή Μορφή (P_4, S_8 - στερεά)

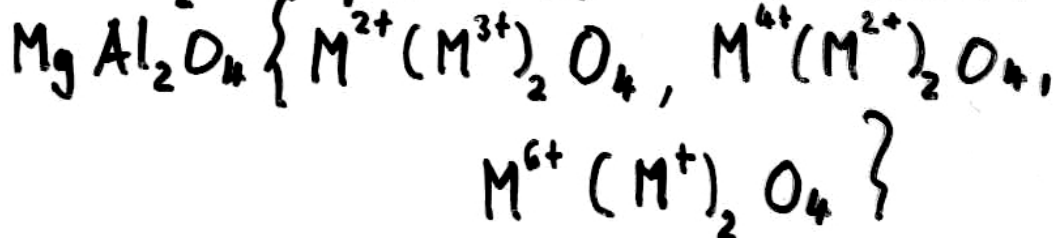
(ii) Δικτυο άγριων (άδιαμα, γραφίτης)

(iii) Στερεά ή νήσα (Hg) μέταλλα.

(B) Ιοντική ένωση

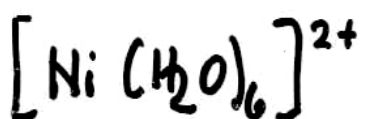
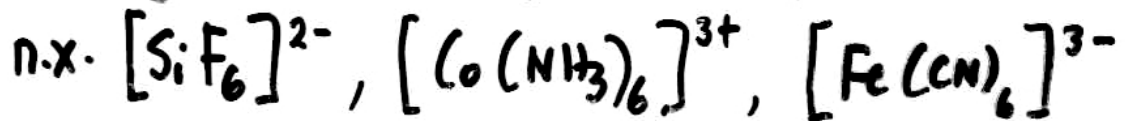
(i) Άπλετη ιοντική ένωση π.χ. Να τη διαλυτή επί νερό
ή άλλου πολικού διαλυτη.

(ii) Ιοντικά οξείδια που είναι αδιάλυτα επί νερό
π.χ. ZnO_2 και μικτά οξείδια π.χ. Σπινέλια.



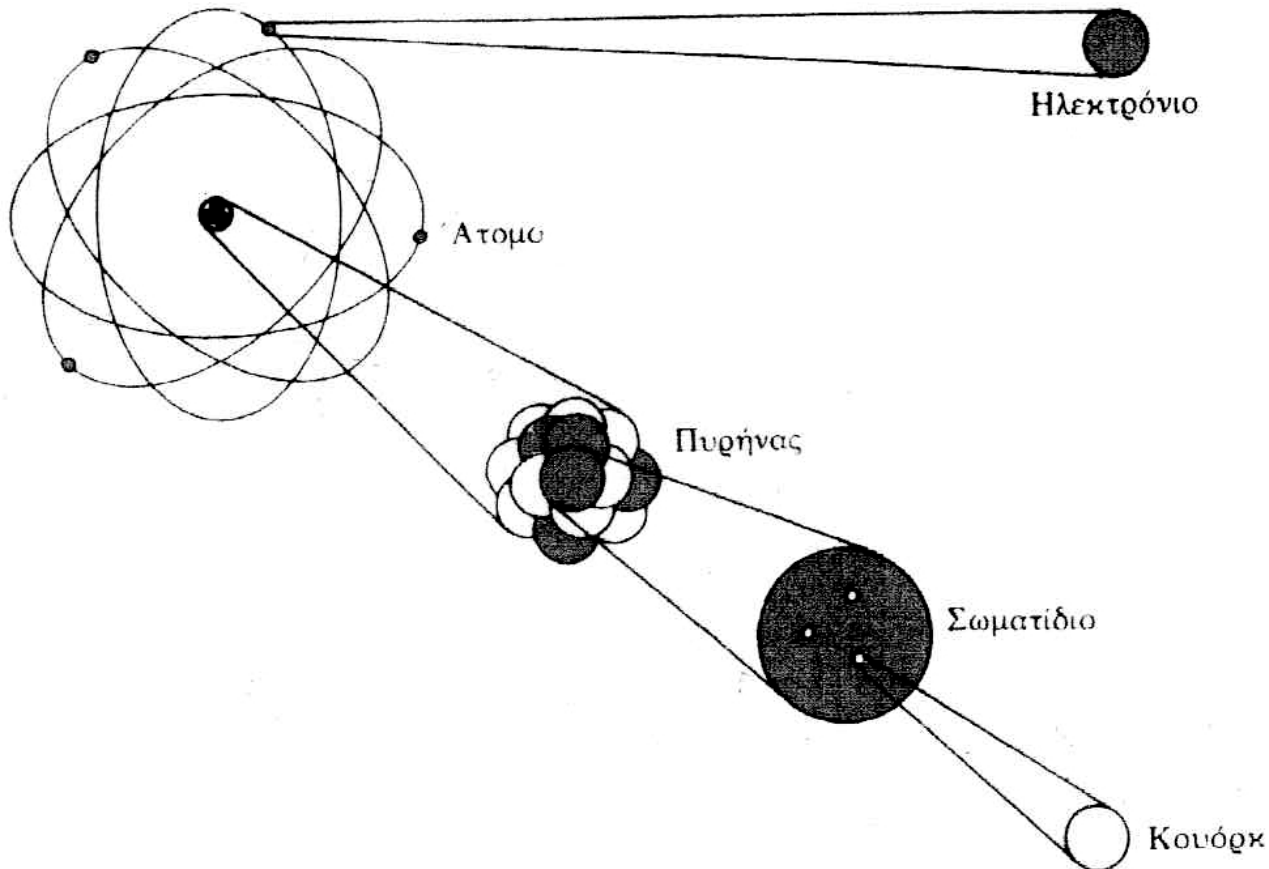
(iii) Άλογονίδια, Καρβίδια, Σουλφίδια.

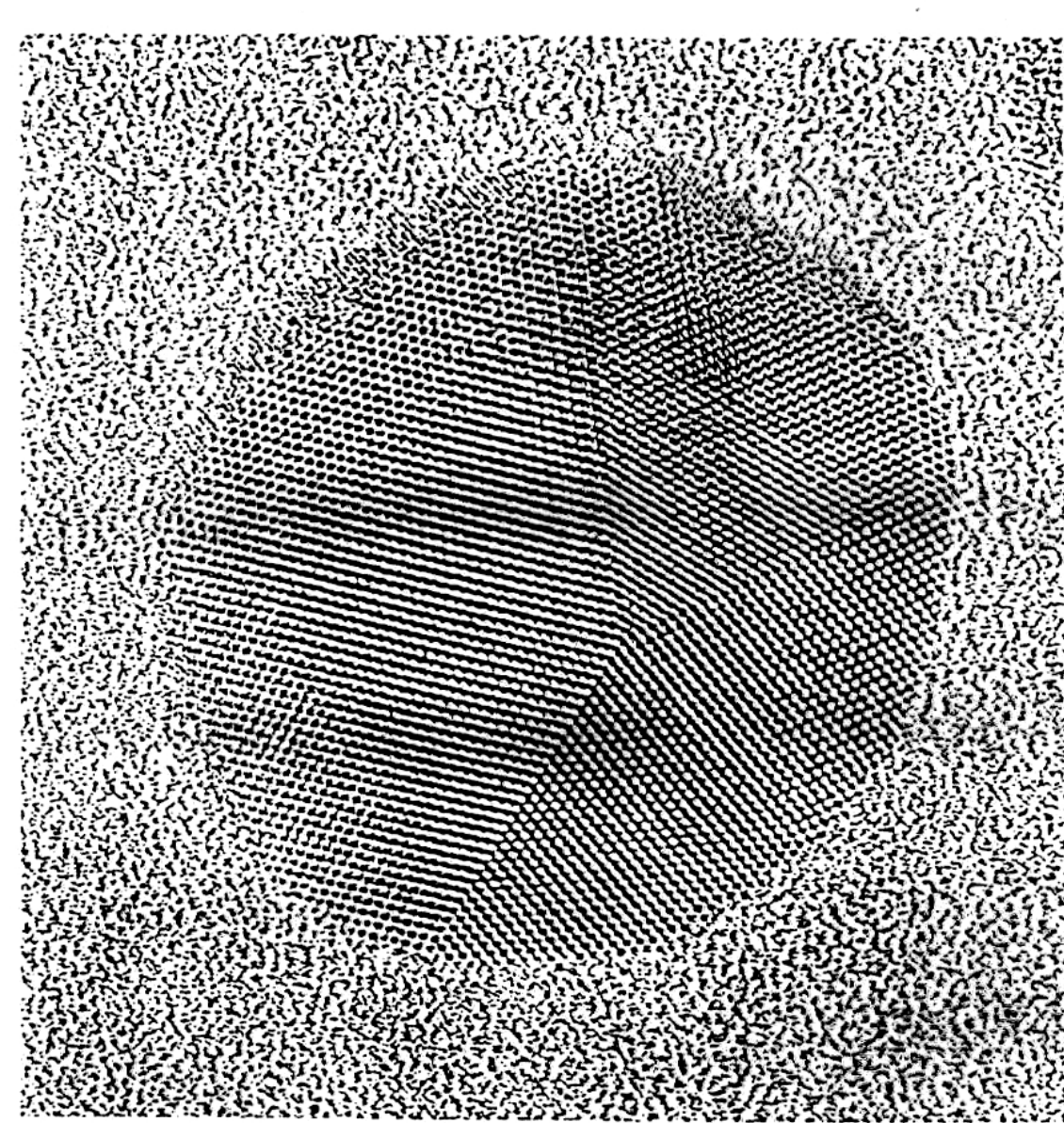
(iv) Ένωση που περιλαμβάνουν βίγματος ιόντα



⑤ Μοριακές ένώσεις (στερά, νήρα, αέρια)

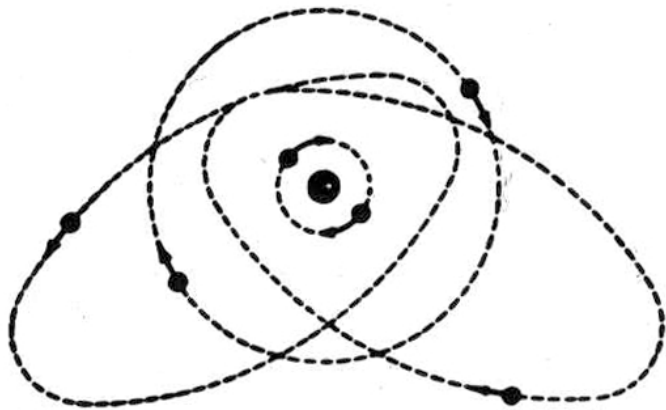
- (i) Άνησις ένώσεις π.χ. PF_3 , SO_2 , OsO_4 , UF_6
 - (ii) Σύμωσης ένώσεις που περιλαμβάνουν μέγαλλα
π.χ. $\text{PtCl}_2(\text{PMe}_3)_2$
 $\text{RuH}(\text{O}_2\text{CMe})(\text{PPh}_3)_3$
 - (iii) Προσανατολισμένη ένώσεις, δικαδικές ένώσεις
που έχουν διορισμένα μεγάλα-κανόνες.
- π.χ. $\text{Ni}(\text{CO})_4$
 $\text{Zr}(\text{C}_2\text{H}_5)_2$
 $\text{V}(\text{C}_8\text{H}_8)_2$





Au
xpugos

An image of gold atoms formed by a very powerful electron microscope. The atoms are arranged in a very regular array so each tiny dot in the central region represents a column of atoms.



Τὸ διομον τοῦ ἀνθρακος ἀποιείται· ἀπὸ τὸν πυρῆνα καὶ ἀπὸ δὲ ἡλεκτρόνια, περιφερόμενα περὶ αὐτόν. (Τὰ βάλη ὑπεδεικνύουσν, ἀπλῶς, δις τὰ ἡλεκτρόνια κινοῦνται).

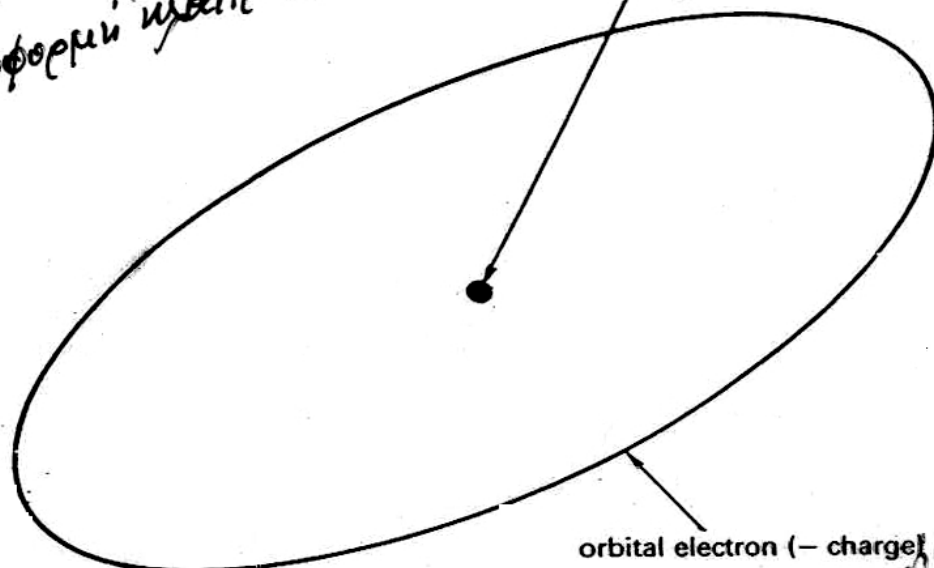
<u>Περιοχή</u>	<u>Μήκος κύματος</u> (cm)	<u>Προέλευση</u>
ακτίνες γ	10^{-8}	πυρήνας τών ατόμων
ακτίνες X	10^{-7}	εσωτερικά ηλεκτρόνια ατόμων
"μαλακές" ακτίνες X	10^{-6}	
υπεριώδες "κενού"	2×10^{-5}	ιονισμός ατόμων και μορίων
υπεριώδες	4×10^{-5}	ηλεκτρόνια οζένους
ορατόν	8×10^{-5}	
εγγύς υπέρυθρο	$2,5 \times 10^{-4}$	
υπέρυθρο	$2,5 \times 10^{-4}$	ταλαντώσεις μορίων
όπω αυτέρυθρο	4×10^{-2}	
μικροκύματα	25	προσανατολισμός ηλεκτρονικού σρίπ εντός μαγνητικού πεδίου
κύματα ραδιοφωνίας		προσανατολισμός πυρηνικού σρίπ εντός μαγνητικού πεδίου

Διαγραμματική παράσταση των περιοχών της ηλεκτρομαγνητικής ακτινοβολίας. Η κλίμακα δεν είναι αναλογική. Η ορατή στον άνθρωπο περιοχή εκτείνεται από 300-780 nm
(1nm = 10Å, 1Å = 10^{-10} m).

N. BOHR

$$mv\tau = n \frac{h}{2\pi} \quad n=1, 2, 3, \dots$$

Бързината на въртене



Nucleus formed of:
protons (+ charge)
neutrons (0 charge)

The planetary model of the atom.

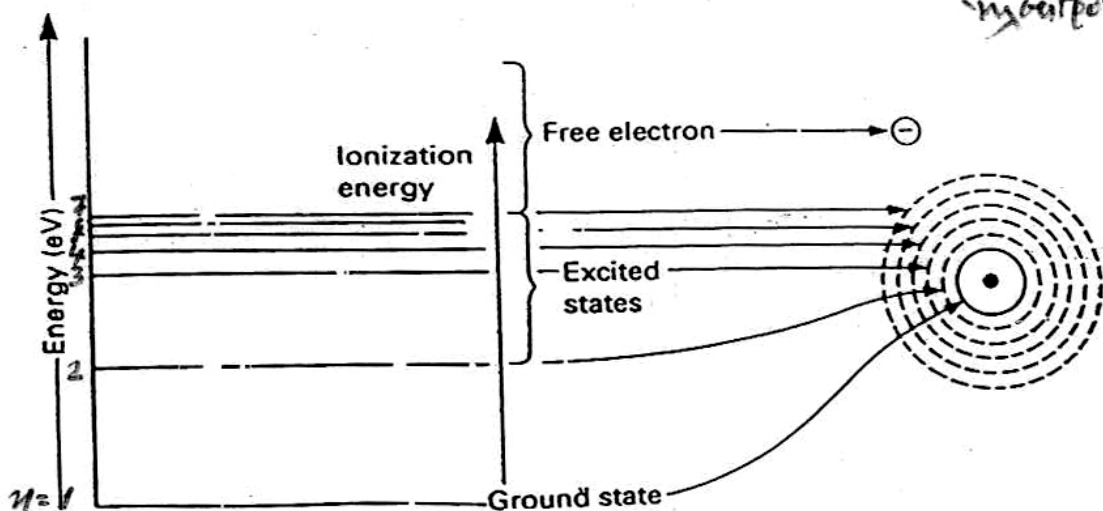
$$E_n = -\frac{1}{n^2} \frac{me^4 Z^2}{8\hbar^2 \epsilon^2}$$

$$E_0 = \text{значение на земната кръв} \Rightarrow 8,85 \times 10^{-12} \text{ Cb}^2 \cdot \text{N} \cdot \text{m}^{-2}$$

$$h = \text{Зададен от Planck} \Rightarrow 6,6256 \times 10^{-34} \text{ Joule \cdot sec}$$

съществува *атомът е реален*

Гелио
макарони



An electron energy level diagram for hydrogen.

ΑΤΟΜΟ ΒΔΡΟΝΟΝΟΥ ΚΑΤΑ N. BOHR

Βασικές έξι σχέσεις

$$\textcircled{1} \quad m v r = n \frac{h}{2\pi}$$

↪ στροφορμή περιστροφούμενου ήλεκτρονίου

$$\textcircled{2} \quad h\nu = E_1 - E_2$$

$\textcircled{3}$ Το ήλεκτρόνιο (e) κινείται με την έπιδρση της ηλεκτρικής δυνάμεως που θεωρεί στο φορτίο του ήλεκτρονίου ό πυρηνας (φορτίο $+e$)

$$\frac{1}{4\pi\epsilon_0} \frac{e^2}{r^2} = m \frac{v^2}{r} \quad \left\{ F = m \cdot g \right\}$$

Έφαρμοσής

$$\tau = n^2 \frac{h^2 \epsilon_0}{\pi m e^2}$$

$$U = \frac{1}{n} \frac{e^2}{2 \epsilon_0 h}$$

$$E_{KIV} = \frac{1}{n^2} \frac{e^4 m}{8 \epsilon_0^2 h^2}$$

$$E_{\Delta VN} = - \frac{1}{n^2} \frac{e^4 m}{4 \epsilon_0^2 h^2}$$

$$E_{0\lambda} = - \frac{1}{n^2} \underbrace{\frac{e^4 m}{8 \epsilon_0^2 h^2}}$$

$$\text{Καλώ } R = \frac{e^4 m}{8 \epsilon_0^2 h^3 C} = \text{εταδροί Rydberg} = 1,09678 \times 10^7 \text{ m}^{-1}$$

$$E_{0\lambda} = - \frac{1}{n^2} \underbrace{h c R}$$

$$13,6 \text{ eV} = 2.1787 \times 10^{-18} \text{ J}$$

$$E_{0\lambda} = - \frac{1}{n^2} * 13.6 \text{ eV} \quad n = 1, 2, 3, \dots$$

ΑΤΟΜΙΚΟ ΠΡΩΤΥΠΟ BOHR για ΜΟΝΟΗΛΕΚΤΡΟΝΙΚΑ ΙΟΝΤΑ

$$\textcircled{1} \quad m v r = \eta \frac{h}{2\pi} \quad \textcircled{2} \quad \frac{(Ze) e}{4\pi \epsilon_0 r^2} = m \frac{v^2}{r}$$

ϵ_0 = διηλεκτρική σταθερά κερού

h = σταθερά Planck

r = Φυσικά τροχιάς ήλεκτρονίου

e = στοιχειώδη φορτίο ήλεκτρονίου

m = μᾶζα ήλεκτρονίου

v = ραχύγυμμα ήλεκτρονίου

Ze = φορτίο πυρήνα, Z = άτομικός αριθμός στοιχείου

Έφαρμοστές

$$\tau = \frac{n^2 h^2 \epsilon_0}{\pi m Z e^2} \quad \text{καλώ } A_0 = \frac{\epsilon_0 h^2}{\pi m e^2} = 52,913 \text{ pm}$$

$$\tau = \frac{n^2}{Z} A_0$$

$$V = \frac{Z e^2}{2 \epsilon_0 h} \cdot \frac{1}{n}$$

$$E_{KIV} = \frac{1}{2} m v^2 = \frac{(Z^2) e^4 m}{8 h^2 \epsilon_0^2} \cdot \frac{1}{n^2}$$

$$E_{ΔVN} = - \frac{Z e^2}{4 \pi \epsilon_0 \tau} = - \frac{(Z^2) e^4 m}{4 h^2 \epsilon_0^2} \cdot \frac{1}{n^2}$$

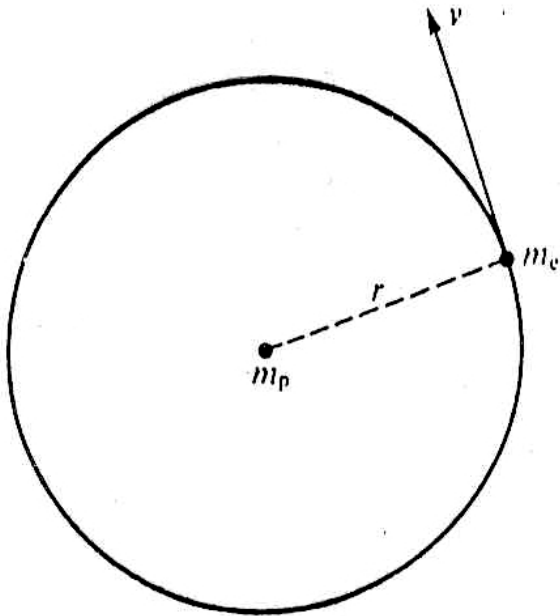
$$E_{0\lambda} = E_{KIV} + E_{ΔVN} = - \frac{Z^2 e^4 m}{8 h^2 \epsilon_0^2} \cdot \frac{1}{n^2}$$

$$\text{Καλώ } R = \text{σταθερά Rydberg} = \frac{e^4 m}{8 \epsilon_0^2 h^3 c} = \\ = 1.097 \times 10^7 \text{ m}^{-1}$$

$$E_{0\lambda} = - \frac{1}{n^2} \times \underbrace{h \times c \times R \times Z^2}_{13,6 \text{ eV}} = 2.179 \times 10^{-18} \text{ J}$$

$$E_{0\lambda} = - \frac{1}{n^2} \times 13,6 \times Z^2 \text{ eV}$$

$$\boxed{\frac{1}{4\pi\epsilon_0} \cdot \frac{e^2}{r^2} = \frac{m_e v^2}{r}}$$

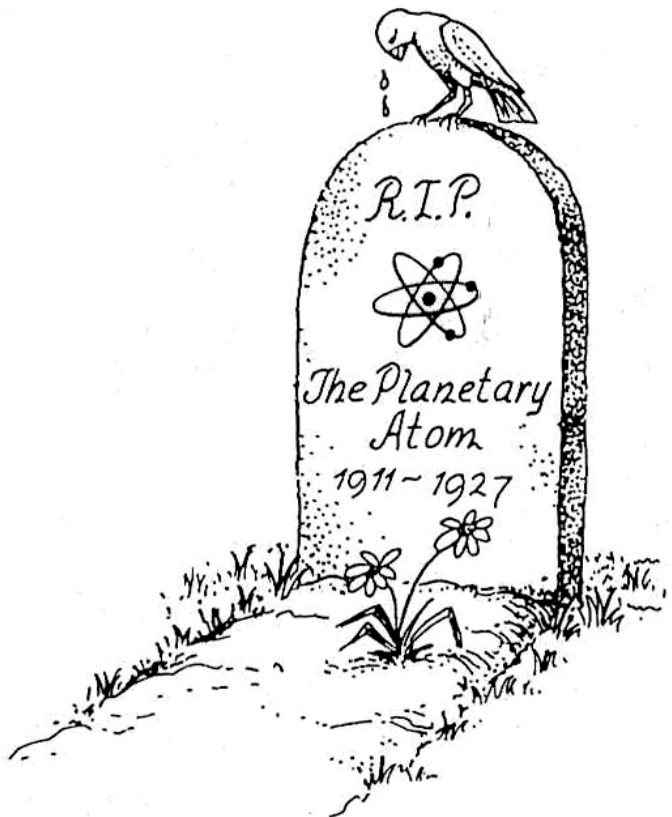


The Bohr model of the hydrogen atom.

$$\boxed{m_e v r = n \cdot \frac{h}{2\pi},}$$

$$\frac{1}{4\pi\epsilon_0} \cdot \frac{e^2}{r^2} = \frac{m_e}{r} \cdot \frac{n^2 h^2}{4\pi^2 m_e^2 r^2},$$

$$r = \frac{n^2 h^2 \epsilon_0}{\pi m_e e^2},$$

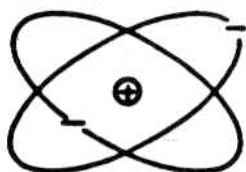


The Planetary Atom: R.I.P.
(*Requiescat In Pace*)



DALTON'S MODEL
1808
A hard, indivisible sphere

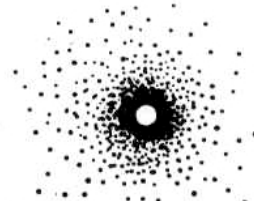
(a)



RUTHERFORD'S
NUCLEAR MODEL
1912

The atom was
thought to resemble
the solar system

(b)



WAVE-MECHANICAL
MODEL
The electrons encircle
the nucleus in the
form of a charge cloud

(c)



THE YEAR
2000

(d)

ΑΡΧΗ ΑΒΕΒΑΙΟΤΗΤΑΣ - - ΑΠΡΟΣΔΙΟΡΙΣΤΙΑΣ

Heisenberg (Γερμανός φυσικός
1901-1976)

"Το γινόμενο αβεβαιότητας - θέσης/ταχύτητας
είναι ΑΔΥΝΑΤΟ να είναι μικρότερο από
τον κατώτατο όριο."

$$\Delta x \cdot \Delta v_x \geq \frac{h}{4\pi m}$$



$$\Delta x \cdot \Delta p_x \geq \frac{h}{4\pi} \quad \frac{h}{2\pi} = \lambda$$

$\approx 1,052 \times 10^{-34} \text{ J.s}$

$$\Delta x \cdot \Delta p_x \geq \frac{\hbar}{2}$$

$$\hookrightarrow \Delta x \cdot \Delta p_x = \Delta E \cdot \Delta t$$